

## تأثير شحنة الفراغ في التصميم النظري لقاذف الكتروني يعمل تحت ظرف التكبير المحدد

بشرى هاشم حسين

قسم الفيزياء، كلية التربية-ابن الهيثم، جامعة بغداد

### الخلاصة

اجريت دراسة نظرية حاسوبية في موضوع البصریات الالکترونية لتصميم قاذف الكتروني بأخذ تأثير شحنة الفراغ حسب توزيع الجهد المحوري لعدسة مغمورة ثنائية الاقطاب طولها  $L=14\text{mm}$  من خلال حل معادلة بواسون بأستخدام طريقة العناصر المحددة وهي احد طرائق التحليل ومن معرفة المشتقتين الأولى والثانية للجهد المحوري وحل معادلة الشعاع المحوري تم ايجاد الخواص البصرية للبعد البؤري، ومعامل الزيغ الكروي ومعامل الزيغ اللوني. تم ايجاد افضل قيم للتيار التي تعطي قيم مقبولة لمعاملات الزيوغ الكروية واللونية بوجود شحنة الفراغ، اذ أستخدمت قيمة التيار  $I=10^{-4}\text{A}$  وقيمة مساحة مقطع الحزمة  $S=1\text{mm}^2$ .

### المقدمة

تعد البصریات الالکترونية فرعاً من فروع الفيزياء التي تعنى بحركة سيل من الجسيمات المشحونة الالکترونيات او الايونات في المجالات الكهربائية والمغناطيسية التي تم تبنيها بهذه المجالات (1).

ان القاذف الالکتروني هو المصدر الرئيس للحزمة، الالکترونية اذ تتكون منظومة القاذف من كاثود واقطاب تبنيير قرب الكاثود وجهد انود موجب نسبة الى جهد الكاثود، اذ تستعمل المعادن لأمتلاكها الكترونيات حرة كافية، يسخن السلك بتيار

كهربائي حتى يمرر الكترونات قليلة فعند تسليط مجال كهربائي قوي تتعجل الالكترونات الى الامام وتستخدم هذه التقنيات في شاشات التلفاز والحاسبات (2).

### الجزء النظري

لكي نصمم قاذفاً الكترونيا بوجود شحنة الفراغ يجب ان نصمم عدسات كهروستاتيكية اولا وذلك بأختيار شكل الاقطاب وتحديد المسافة بين الاقطاب وعلى اساسها يحسب توزيع الجهد على الاقطاب بأستخدام برامج حاسوبية بلغة فورتران 77، ان البرامج المستخدمة في هذا البحث هي E11 و E21 التي وضعت من العالم Munro 1975 ، برنامج E11 يحسب توزيع الجهد  $U(z)$  لعدسات كهروستاتيكية متماثلة محوريا لمحور  $z$  بعد ذلك يستخدم هذا الجهد مدخلات لبرنامج E21 الذي يتم من خلاله حساب الصفات البصرية من بعد بؤري  $f$  وزيف كروي Cs وزيف لوني Cc (3).

ان طريقة العناصر المحددة هي الطريقة المستخدمة في هذا البحث لتصميم العدسة الكهروستاتيكية وهي اكثر دقة من الطرق الاخرى وذلك للكثافة العالية لنقاط الشبكة (4).

اساس عمل هذه الطريقة يكون من خلال تقسيم العدسة اي المنطقة المراد تحليلها على عدد كبير جدا من المناطق الثانوية الصغيرة وتسمى بالعناصر المحددة. يتم اولا حساب توزيع الجهد المحوري ثم تحل معادلة الشعاع المحوري لحساب مسار الالكترونات من خلال المعادلة الآتية: (5)

$$\frac{\partial^2 r}{\partial z^2} + \frac{U(z)}{2U(z)} \frac{\partial r}{\partial z} + \frac{U'(z)}{4U(z)} r = \frac{I}{2\pi\epsilon_0(2rU)^{1/2}R} \dots\dots\dots [1]$$

اذ  $R$  تمثل المسافة على المحور البصري  $(z)$ ، و  $\eta$  تمثل النسبة بين الشحنة/كتلة الالكترون و تساوي  $q/m$ ، و  $\pi = 3.14$ ، و  $I$  يمثل تيار القاذف الالكتروني ويقاس بوحدت الامبير A و  $U'$  هي المشتقة الاولى والثانية للجهد المحوري  $U$  و  $r$  تمثل مسار الجسيمات المشحونة.

يتم حساب الخواص البصرية بعد حل معادلة الشعاع المحوري باستخدام الطريقة العددية رنج-كتا من المرتبة الرابعة لأيجاد مسار الحزمة الالكترونية للعدسة الكهروستاتيكية، ولأيجاد قيمة معاملي الزيع الكروي واللوني استخدمت طريقة Simpson's rule (6).

$$Cs_o = \frac{U^{-1/2}}{16r_o'^4} \int_{z_o}^{z_i} \left[ \frac{5}{4} \left( \frac{U''(z)}{U(z)} \right)^2 + \frac{5}{24} \left( \frac{U'(z)}{U(z)} \right)^4 \right] r^4(z) + \frac{14}{3} \left( \frac{U'(z)}{U(z)} \right)^3 r'(z)r^3(z) - \frac{3}{2} \left( \frac{U'(z)}{U(z)} \right)^2 r'^2(z)r^2(z) \} U^{1/2}(z) dz \text{-----} [2]$$

$$Cc_o = \frac{U^{1/2}(z_o)}{r_o'^2} \int_{z_o}^{z_i} \left[ \frac{1}{2} \frac{U'(z)}{U(z)} r'(z)r(z) + \frac{U''(z)}{4U(z)} r^2 \right] U^{-1/2}(z) dz \text{-----} [3]$$

### النتائج والمناقشة

في هذا البحث صمم قاذف الكتروني ذو عدستين مغمورتين ثنائيتي القطب متماثلتين، ان توزيع الجهد المحوري للعدسة يوضحه الشكل 1 الذي يبين توزيع الجهد لعدسة ثنائية القطب مغمورة بطول 14mm ، كما ان الجهد على القطب الاول يختلف عن الجهد على القطب الثاني وان العدسة متماثلة، بعد اختيار العدسة نعمل على وضعها امام الكاثود لكي تبث الحزمة الالكترونية التي يتم قذفها من الكاثود.

تمت دراسة تأثير تغير مساحة المقطع S في معاملات الزيوغ الكروية واللونية عند اخذ قيمة ثابتة للتيار مقدارها  $I=10^{-4}$  A، اذ نلاحظ من الشكل (2) ان معاملات الزيوغ الكروية واللونية تقل بصورة واضحة مع زيادة مساحة المقطع ابتداء من  $S=1\text{mm}^2$  الى اقل قيمة لها عندما  $S=3\text{mm}^2$  اذ نلاحظ ان قيم الزيوغ تتراوح

مابين 2.75 الى 2.35 بالنسبة الى الزيغ الكروي وان قيم الزيغ اللوني تراوحت ما بين 0.57 الى 0.55 عند تغير مساحة المقطع  $1 < S < 3$ .

الشكل 3 يبين تغير معاملات الزيوغ نسبة الى البعد البؤري مع تغير قيم التيار عند اخذ قيمة ثابتة لمساحة المقطع  $S=1\text{mm}^2$  حيث ان معامل الزيغ الكروي واللوني يتغير بصورة واضحة مع تغير التيار، فعند قيمة  $I=0.0001\text{ A}$  فإن قيمة  $Cs/f$  تكون 2.76 و  $Cc/f$  تكون 0.57 وعند تغير قيمة التيار  $I=0.0005\text{ A}$  فإن قيمة  $Cs/f$  تكون 16.64 و  $Cc/f$  تكون 0.78 وهذه القيم يمكن عدّها جيدة مقارنة بالاعمال السابقة في هذا المجال (Munro 1975).

درست حالة التكبير المحدد التي تتمثل بفرعين هما :

1. حالة التكبير الواطئ

2. حالة التكبير العالي

حالة التكبير الواطئ :

تتم دراسة معامل الزيوغ  $Csi$  و  $Cci$  لهذه الحالة من حيث ان مسار الحزمة الالكترونية تبدأ من مجال الجسم  $Zo$  وينتهي بمجال الصورة  $Zi$ . يوضح الشكلان (4) و (5) العلاقة بين معاملات الزيوغ الكروية واللونية في مجال الصورة نسبة الى التكبير  $Csi/M$  و  $Cci/M$  كدالة لنسب الجهود المعجلة في حالة موقع الجسم  $Zo=-500\text{mm}$  و  $Zo=-1000\text{mm}$ . ان الشكل (4) يبين العلاقة بين معاملات الزيوغ الكروية نسبة الى التكبير مع نسب الجهود المعجلة ففي الموقع  $Zo=-500\text{mm}$  نجد ان قيم  $Csi/M$  تقل من 2.132 الى 0.645 وعند زيادة نسب الجهود من 10 الى 30 وعند موقع الجسم  $Zo=-1000\text{mm}$  نجد ان قيم  $Csi/M$  تقل من 3.366 الى 1.14 عند زيادة نسب الجهود من 10 الى 30.

بينما يبين الشكل (5) تأثير نسب الجهود المعجلة في معاملات الزيوغ اللونية نسبة الى التكبير في الحالتين عندما  $Zo=-500\text{mm}$  و  $Zo=-1000\text{mm}$ ، حيث يلاحظ انه عند موقع الجسم  $Zo=-500\text{mm}$  فإن قيم  $Cci/M$  تقل من 0.349 الى 0.114 بزيادة نسب الجهود من 10 الى 30 وعند موقع الجسم  $Zo=-1000\text{mm}$  فإن قيم  $Cci/M$  تقل من 0.63 الى 0.203 بزيادة نسب الجهود من 10 الى 30. لذلك نجد من الشكلين (4

و(5) أن أفضل قيم لمعاملات الزيوع الكروية واللونية تكون في حالة موقع الجسم  $Z_o = -500mm$  كذلك تكون قيم التكبير عندما  $Z_o = -1000mm$  ضعف قيم التكبير عندما موقع الجسم  $Z_o = -500mm$ .

يتضح من الشكلين (4) و(5) أن قيم الزيوع اللونية أقل من قيم الزيوع الكروية التي يمكن الاستفادة منها في تصميم العدسات للقاذف الإلكتروني

أن الجدول (1) يبين مقارنة بين العمل الحالي بوجود شحنة الفراغ حيث تم الحصول على أفضل قيمة" عندما طول العدسة ( $L=14mm$ )، وعمل الباحث (Munro 1975) وعمل الباحثة (Intihaa 2002) عند عدم وجود شحنة الفراغ و ( $L=16mm$ ) لقيم معاملات الزيوع الكروية واللونية نسبة الى التكبير في حالة التكبير الواطئ عندما يقع الجسم على مسافة  $Z_o = -500mm$ ، إذ يلاحظ وجود فرق في النتائج ويرجع ذلك الى شكل العدسة وتوزيع الجهد على الاقطاب المؤثرة في الخواص البصرية للعدسة.  
حالة التكبير العالي :

في هذه الحالة تمت دراسة خواص العدسة المغمورة للقاذف الإلكتروني في مجال الجسم، إذ أن مسار الحزمة الإلكترونية يبدأ من مجال الصورة  $Z_i$  وتنتهي بمجال الجسم  $Z_o$ .

يبين الشكل (6) و(7) علاقة معاملات الزيوع الكروية واللونية نسبة الى التكبير كدالة لنسب الجهود عند ثبوت موقع الصورة في الحالتين  $Z_i = 500mm$  و  $Z_i = 1000mm$ ، الذي يظهر انخفاض قيم الزيوع الكروية نسبة الى التكبير في الشكل (6) وانخفاض قيم الزيوع اللونية نسبة الى التكبير في الشكل 7 بزيادة الجهد للعدسة، فعند موقع الصورة  $Z_i = 500mm$  ونسبة الجهد 10 تكون قيمة معاملات الزيوع الكروية 0.097 وعند موقع الصورة  $Z_i = 1000mm$  تكون 0.03، أما عند زيادة نسبة الجهود 30 فإن قيم الزيوع الكروية في حالة موقع الصورة  $Z_i = 500mm$  تكون 0.0086 وعند موقع الصورة  $Z_i = 1000mm$  تكون قيم معاملات الزيوع الكروية 0.0033.

أن الشكل (7) يبين انخفاض قيم معاملات الزيوع اللونية في مجال الجسم نسبة الى التكبير بزيادة نسب الجهود المعجلة ففي حالة موقع الصورة عند المسافة  $Z_i = 500mm$  ونسبة الجهد 10 تكون قيمة معاملات الزيوع اللونية 0.0159 وفي حالة موقع الصورة

$Z_i=1000\text{mm}$  تكون 0.0057، وعند زيادة نسب الجهود 30 تكون قيم معاملات الزيوع اللونية عند موقع الصورة  $Z_i=500\text{mm}$  هي 0.00153 وعند موقع الصورة  $Z_i=1000\text{mm}$  فإن قيم معاملات الزيوع اللونية تكون 0.00058 .  
نلاحظ من الشكلين (6) و(7) ان قيم معاملات الزيوع في حالة موقع الصورة  $Z_i=1000\text{mm}$  هي تقريبا نصف قيم معاملات الزيوع في المسافة  $Z_i=500\text{mm}$  وهذا يعني ان افضل قيم لمعاملات الزيوع تكون عند موقع الصورة  $Z_i=1000\text{mm}$  يبين الجدول (2) يبين مقارنة بين العمل الحالي وعمل الباحث (Munro 1975) وعمل الباحثة (Intihaa 2002) لقيم الزيوع الكروية واللونية نسبة الى التكبير في حالة التكبير العالي لعدسة ثنائية القطب مغمورة عندما تكون الصورة على بعد  $Z_i=1000\text{mm}$ ، اذ نلاحظ ان قيم الزيوع متفاوتة ويرجع ذلك الى الاختلاف في طول العدسة.

### الاستنتاجات

1. وجد انه بزيادة قيم التيار تزداد قيم معاملات الزيوع الكروية النسبية واللونية النسبية.
2. وجد انه تتغير مساحة المقطع مع معاملات الزيوع الكروية النسبية واللونية النسبية حيث بزيادة مساحة المقطع فإن قيم الزيوع تقل .
3. وجد ان قيم معاملات الزيوع الكروية واللونية تقل بزيادة نسب الجهود المعجلة.
4. وجد انه في حالة التكبير الواطئ أفضل موقعا للجسم يكون عندما  $Z_o=-500\text{mm}$  للحصول على اقل قيم لمعاملات الزيوع الكروية واللونية.
5. وجد انه في حالة التكبير العالي أفضل موقعا للصورة يكون عندما  $Z_i=1000\text{mm}$  للحصول على اقل قيم لمعاملات الزيوع الكروية واللونية.

### المصادر

1. Zhigarev, A. (1975) "Electron Optics and Electron-Beam Devices" Mir Publishers Moscow.

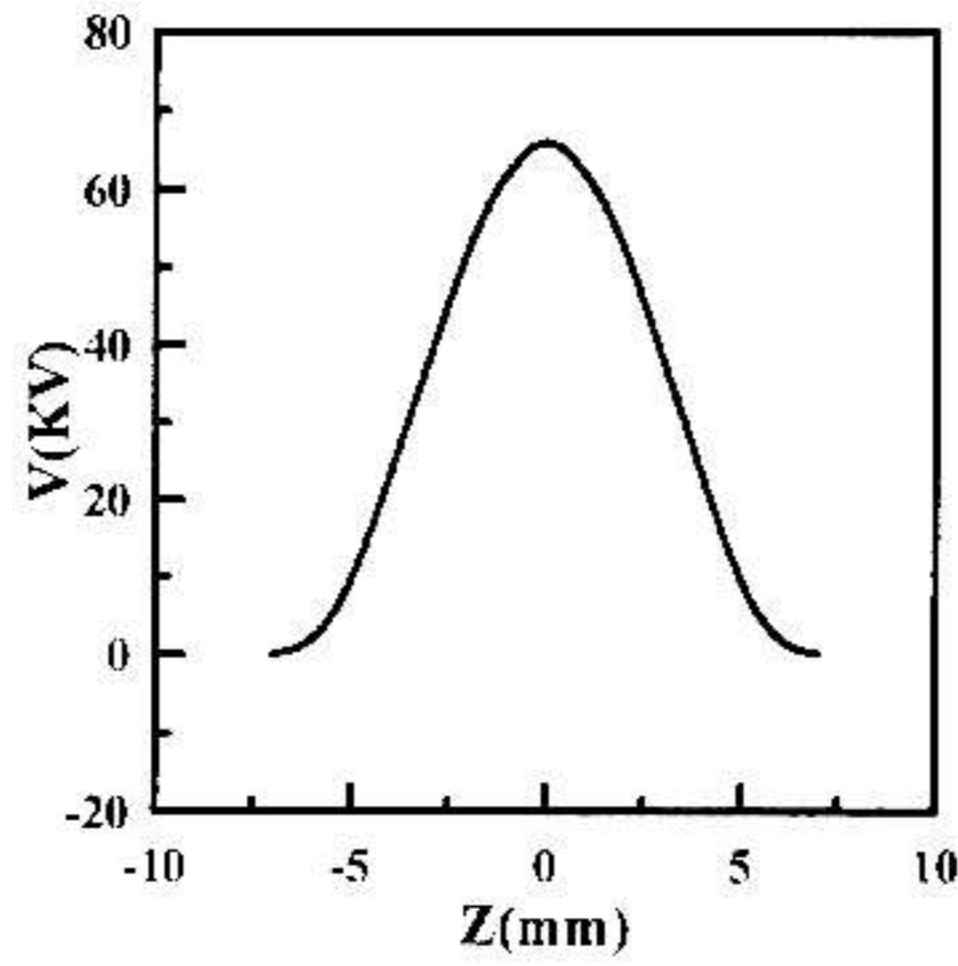
2. (www.Jan-ucc.nou /~wittke/Micropropb) last update 05/05/2003 Owners: mcdunn (design Page).quinn (content)
3. Munro, E. (1975) "A set of computer programs for calculating the properties of electron lenses" Department of Engineering Report CUED/B-Elect. TR45, University of Cambridge, UK.
4. Hawkes, P.W. (1972) "Electron optics and electron microscopy" Churchill Collage, London.
5. Kirestein, P.T., Gordon, S.K. and Willam, E.W. (1967) "Space-Charge Flow" McGraw-Hill New York, London.
6. Kiss, L. (1988) "Computerized investigation of electrostatic lens potential distribution" 12th IMACS World Congress, ed. R. Vicheretsky, Paris.
7. Intehaa, A. M. (2002) "Theoretical design of an electron gun lenses using numerical methods" Ms. c. Thesis, Collage of education for women, Baghdad University, Iraq.

جدول ( 1 ) موازنة العمل الحالي مع الدراسات المشورة سابقا

نسب الجهود	Munro 1975 عدم وجود شحنة فراغ L=16mm		الدراسة الحالية بوجود شحنة فراغ L=14mm		Intihaa 2002 عدم وجود شحنة فراغ L=16mm	
	Csi/M	Cci/M	Csi/M	Cci/M	Csi/M	Cci/M
Vi/Vo						
10	20165.4	7845	2.132	0.349	13.7	6.9
15	20489	12832.5	1.031	0.238	12	10.5
20	22105.8	16950.6	0.761	0.179	11	14.2
25	24243	22146.2	0.671	0.141	12.3	18
30	26833.7	27705	0.645	0.114	13.3	23

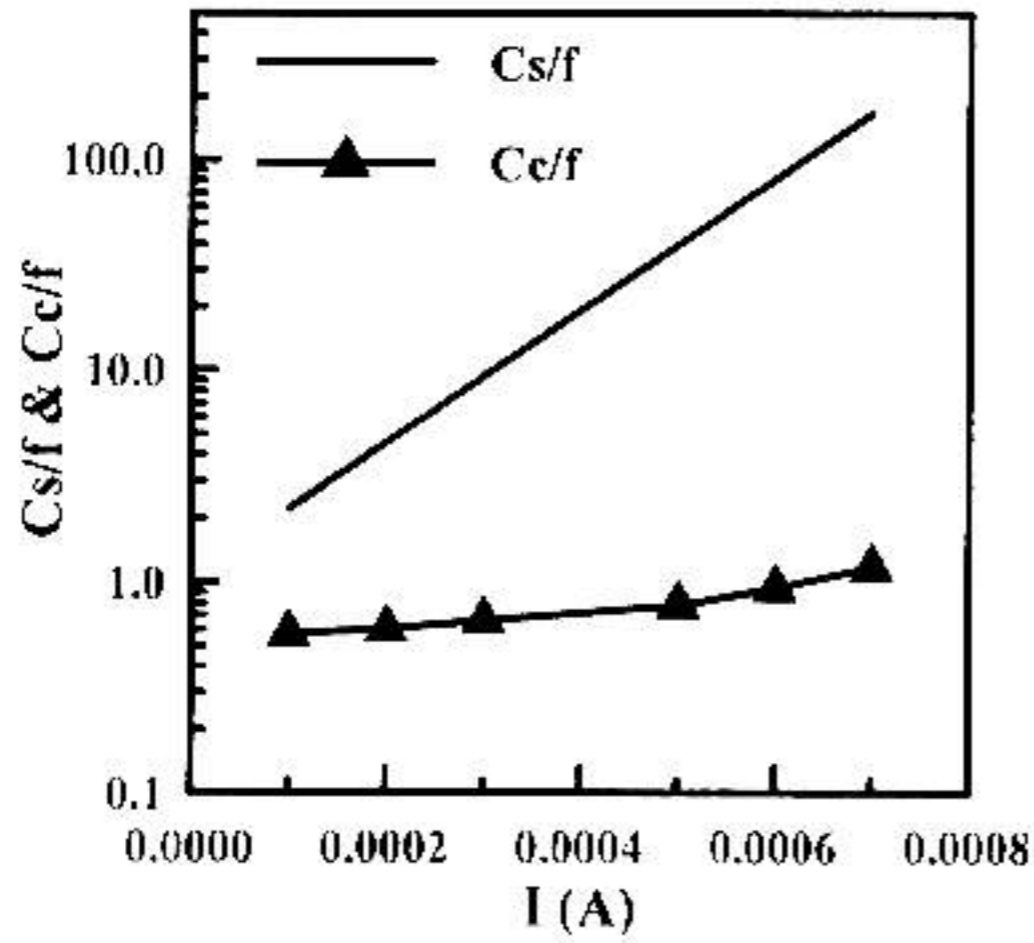
جدول (2) موازنة العمل الحالي مع الدراسات المشورة سابقاً

نسب الجهود	Munro 1975 عدم وجود شحنة فراغ L=16mm		الدراسة الحالية بوجود شحنة فراغ L=14mm		Intihaa 2002 عدم وجود شحنة فراغ L=16mm	
	Vi/Vo	Cso/M	Cco/M	Cso/M	Cco/M	Cso/M
10	2.12	0.45	0.03	0.0057	$1.2 \cdot 10^{-4}$	$3 \cdot 10^{-5}$
15	0.66	0.22	0.0096	0.0023	$1.7 \cdot 10^{-5}$	$1 \cdot 10^{-5}$
20	0.33	0.14	0.0054	0.0013	$3.6 \cdot 10^{-6}$	$3.6 \cdot 10^{-6}$
25	0.2	0.1	0.004	0.00085	$1.4 \cdot 10^{-6}$	$1.35 \cdot 10^{-6}$
30	0.14	0.078	0.0033	0.00058	$8.3 \cdot 10^{-7}$	$9 \cdot 10^{-7}$

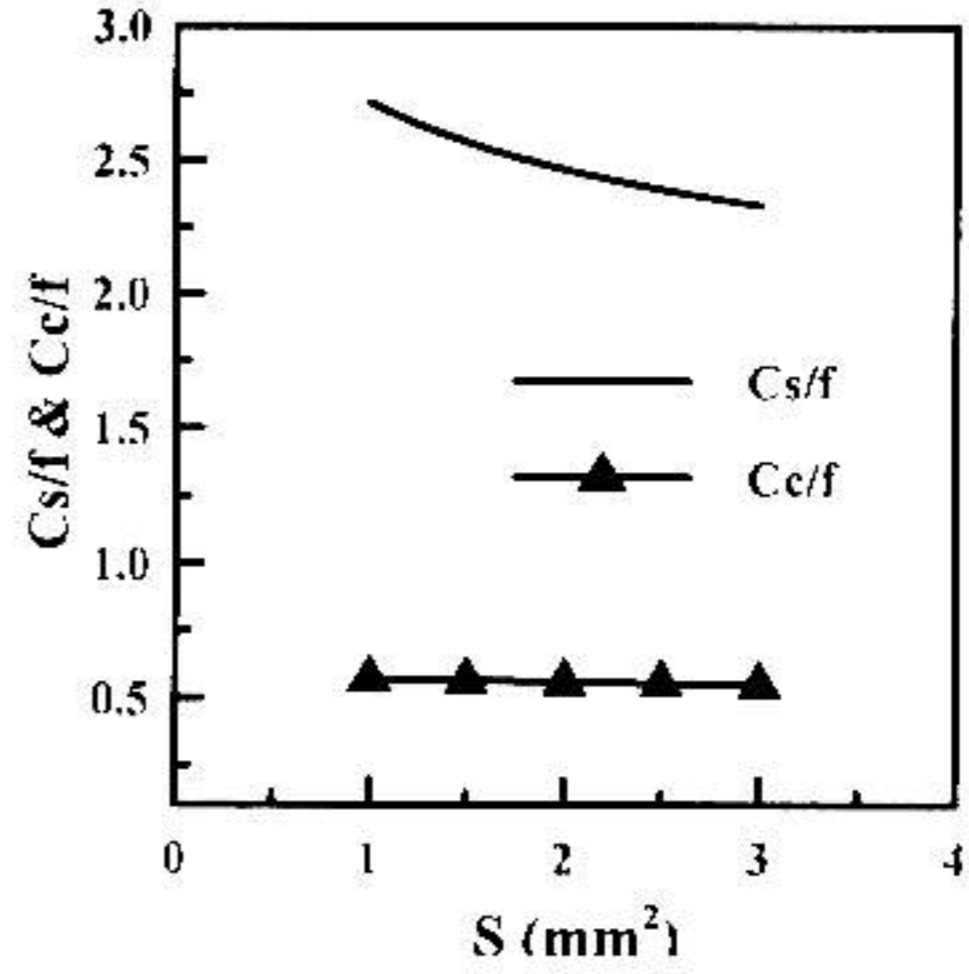


شكل (1) يمثل توزيع الجهد لعدسة ثنائية القطب مغمورة بطول 14mm

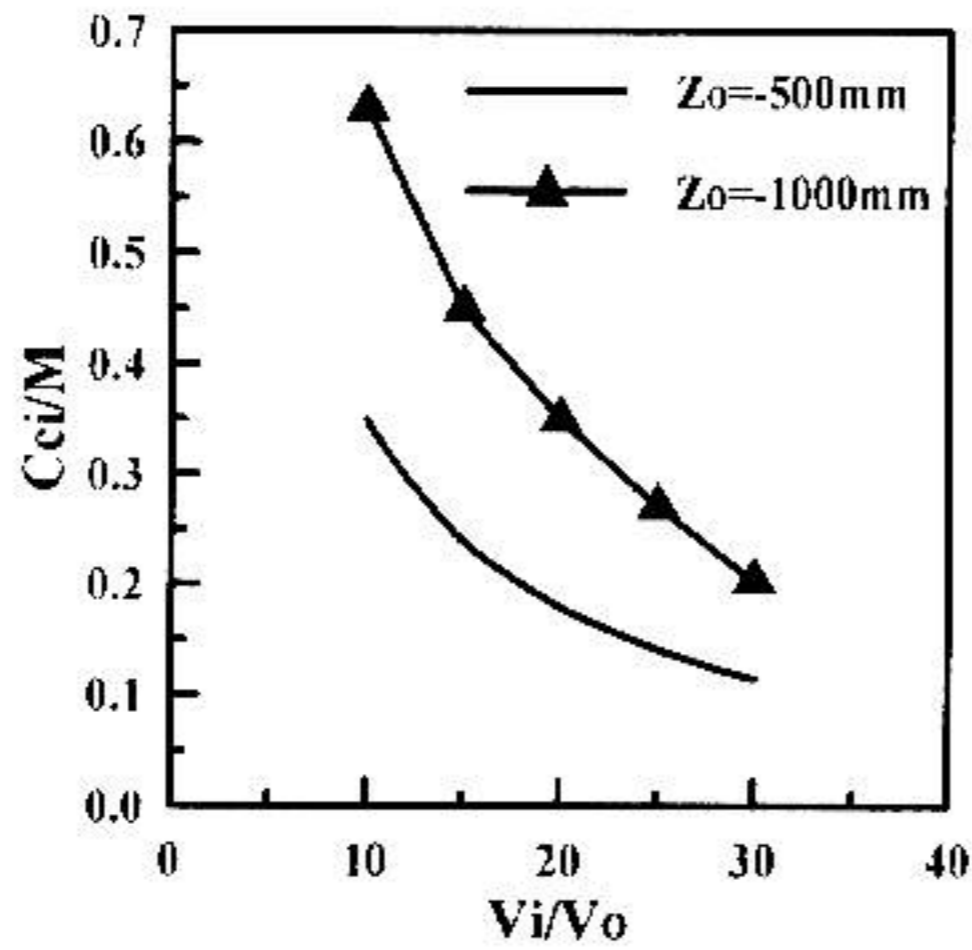




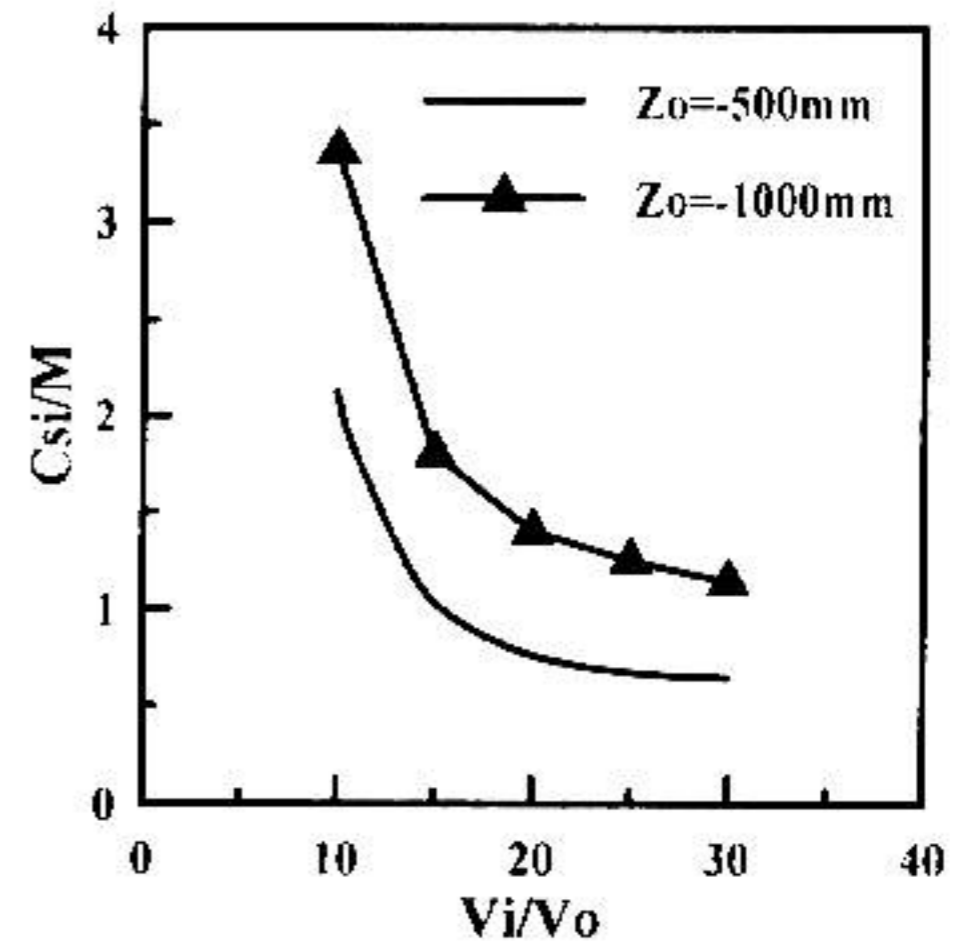
شكل (3) يمثل معاملات الزيوغ نسبة الى البعد البؤري مع التيار



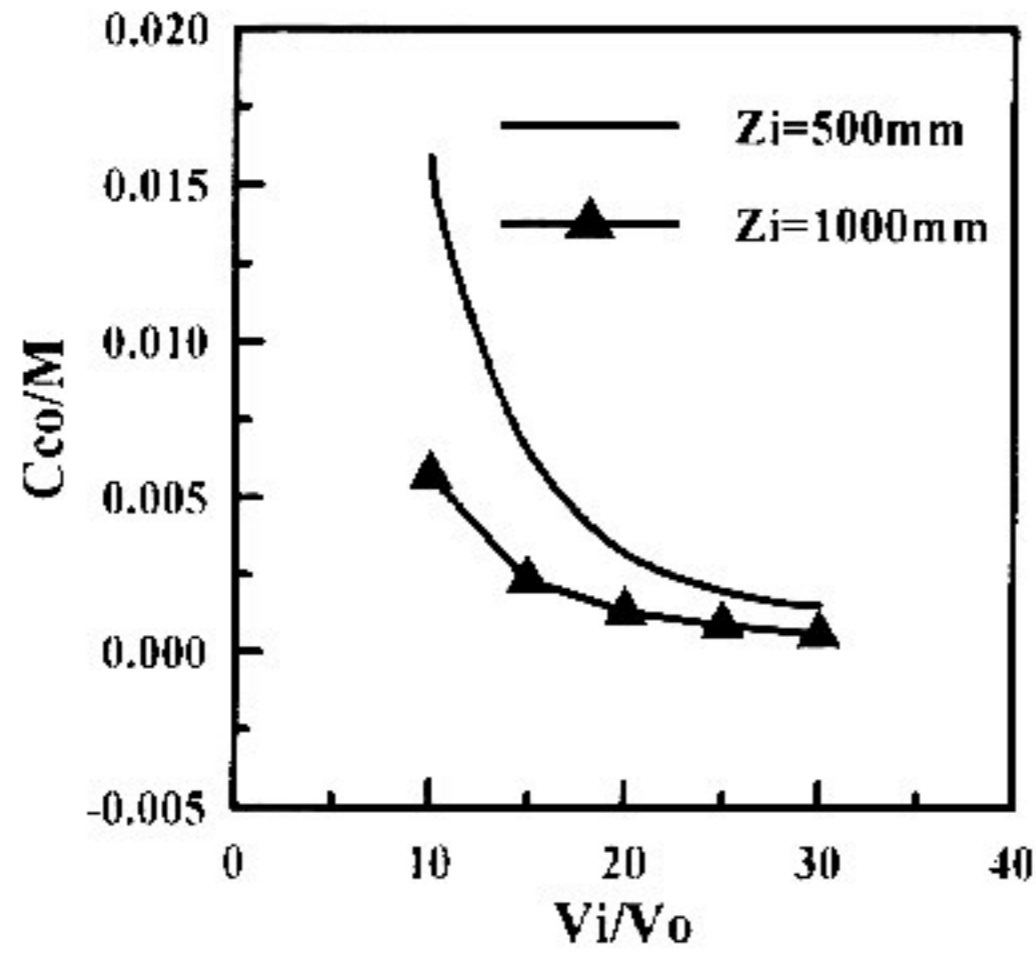
شكل (2) يمثل معاملات الزيوغ نسبة الى البعد البؤري مع المساحة S عندما  $I=10^{-4}A$



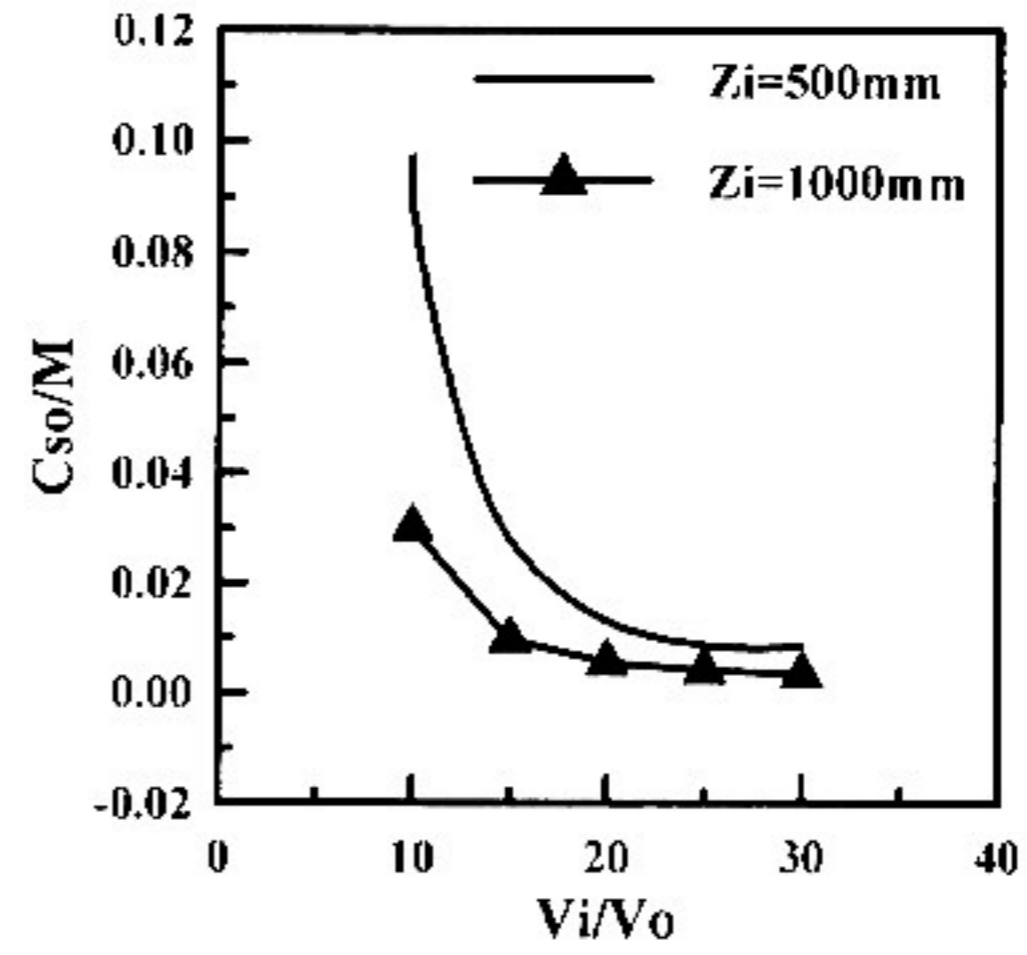
شكل (5) يمثل معاملات الزيوغ اللونية نسبة الى البعد التكبير مع نسب الجهود في حالة التكبير الواطن



شكل (4) يمثل معاملات الزيوغ الكروية نسبة الى التكبير مع نسب الجهود في حالة التكبير الواطن



شكل (7) يمثل معاملات الزيوغ اللونية نسبة الى التكبير مع نسب الجهود في حالة التكبير العالي



شكل (6) يمثل معاملات الزيوغ الكروية نسبة الى التكبير مع نسب الجهود في حالة التكبير العالي

## **The Space-Charge Effect on Theoretical Design of the Electron Gun Operated under Finite Magnification Condition**

**B. H. Hussein**

**Department of Physics ,College of Education Ibn Al-Haithem , University of Baghdad**

### **Abstract**

A computer theoretical study has been carried out in field of opto – electronics, to design an electron gun using the space charge effect.

The distribution of axial potential upon the two –electrode immersion lens of ( $L=14\text{mm}$ ) has been carried out using Poisons equation and the finite element method; knowing the first and second derivation of the axial potential and the solution of paraxial ray equation, the optical properties of the focal length, (Spherical and Chromatic aberration Coefficients) been founds.

An acceptable values for Spherical and Chromatic aberration Coefficients aberration coefficients obtained when a current of ( $I=10^{-4}$  A) applied with a been of uniform cross-sectional area  $S=1\text{mm}^2$ .